

单端 ZVT 双管变换器的软开关技术原理与设计

张益平 福建省龙岩无线电三厂 (364000)

摘要: 以增加一只辅助开关管的电路结构, 就可以实现两只主开关的零电压导通, 谐振电容使主开关管关断时的电压上升率大大降低, 从而使变换器的开通和关断损耗都相当小, 提高变换器的变换效率和使用频率。本文提出的这种新型 ZVT 软开关变换器, 适用于高压、中、大功率的变换场合。本文作了理论分析, 参数选择, 并对实践中所出现的一些技术问题, 作了比较充分和明确的说明。

关键词: ZVT 超前 带后 指振 变换器

率比较高。

对于单端 ZVT, 主开关在零电压导通的同时, 电压应力很高, 大于 $2V_{in}$ (V_{in} 为输入电源电压)。本文介绍的双管 ZVT 变换的零电压开通, 电压应力被限制在输入电压值, 克服了选择高反压, MOSFET 存在高内阻 (R_{on}), 而且也比较昂贵上的不足, 做出来的变换效率同样相当高。

3 电路工作原理

以上波形是理想状态下的原理性波形, 实际波形依结构和电气参数而定, 比如: t_6 在 t_5 与 t_7 之间的不同状态下的不同点位置; 而且, 从 V_{in} 下降至 $1/2 V_{in}$ 时, 产生振铃衰减性谐波, 以及开关管 Q_1 、 Q_2 的实际波形总有一定的谐波, 截止期间, 往往 i_p 电流并没有下降零时, t_6 点位置将接近 t_7 点。

本图中 Q_1 、 Q_2 为主开关管, Q_3 为辅助开关管, 谐振电感 L_r 与谐振电容 C_r , 以及缓冲电感器 L_0 , 构成辅助电路。其中 Q_1 用来阻止谐振电感电流反向流动和产生辅助开关管 Q_3 承受的反向电压。

该电路可以采用移相 UC3875 芯片作控制器, 只用其中的一组输出, 另一组闲置不用, 并调好移相角。

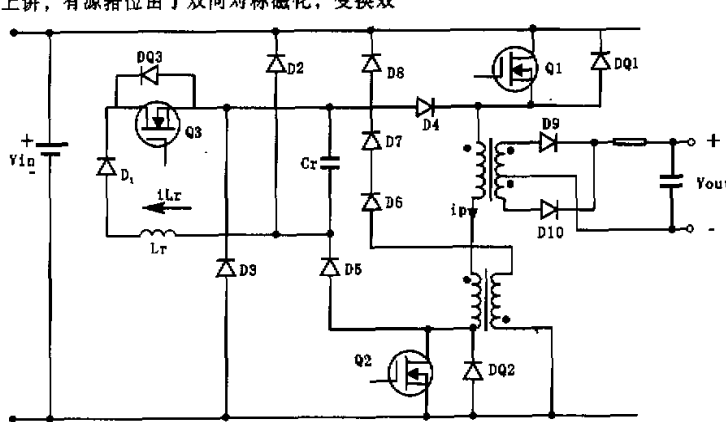


图 1 主电路结构

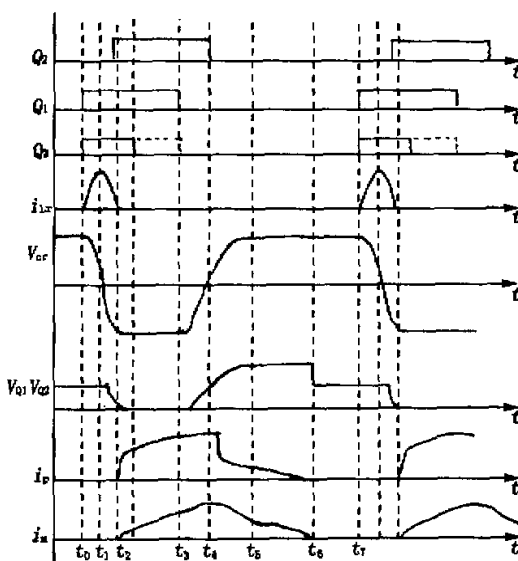


图 2 主要波形

Q_1 与 Q_3 超前相位，其中 Q_3 可为实线，也可以为虚线波形，与 Q_1 同相位结构，控制上比较方便。 Q_2 为滞后相位。 Q_1 与 Q_3 利用错开相位角，构成相位差，将开关损耗同样一分为二，形成双管同时导通截止的一半左右的动态开关损耗。由 UC3875 最大脉宽的 45%，移相超前 5~10% 导通回路的最大脉宽在 35~40% 之间。

4 工作电路分析

先分析 Q_1 、 Q_2 的开通与关断状态。 Q_1 先导通， Q_2 然后导通， Q_1 没有开通损耗， Q_1 首先关断， Q_1 的 DS 极开始上升， C_r 与 D_4 导通，构成缓冲器， C_r 越大， Q_1 的电压上升率越小，电压电流交叠区也越小，关断损耗也越小。 A 点电位将由 V_{in} 下降为零，完成了对于 Q_1 管的关断缓冲过程。这时， C_r 的电容电压也放电为零。当 Q_2 然后关断时， Q_2 的 DS 电压开始上升， C_r 与 D_5 、 D_4 、 D_1 导通回路，又构成缓冲器，同理 Q_1 。 C_r 的电容电压从 0 充电到 V_{in} ，完成对于 Q_2 管的关断缓冲过程。 A 与 B 主回路的电感储能能在 Q_1 、 Q_2 截止后，继续向负载传送输出能量。当初级电流 i_p 下降到零时， A 与 B 的电压也为零，这时 Q_1 、 Q_2 的电压值都为 $1/2 V_{in}$ 。 Q_1 、 Q_2 的共同导通角内，通过变压器原边向副边直接传送能量输出，同时，又被变压器原边的励磁电感器所储存的能量，在截止期间，通过输出整流管继续向负载传送输出能量，相当于一个反激变换器。输出端以中心抽头全波整流，构成正反激相结合，都向负载传送能量，效率比较高。

下面分析讨论滞后导通的主开关管 Q_2 是如何进入零电压状态下的导通。

Q_1 主开关管导通， Q_3 辅助开关管也同时导通， C_r 由于反

向充电至 V_{in} ，经过 L_r 、 D_1 、 D_3 所构成的回路， C_r 与 L_r 产生谐振，当 C_r 电压下降到零时， L_r 、 D_1 与 Q_3 的电流值达到最大值，即 i_{Lr} 之后，又朝着相反的方向完成一个谐振周期， C_r 的电压又由零开始增大到最大值 V_{in} 。这时， C_r 的电压极性与原来相反，这一相反电压，确保 Q_1 、 Q_2 由高电压被恰好地变成零电压状态，这就是零电压过渡（ZVT）的导通过程。但是，这一技术条件，需要 A 与 B 之间在此时的短暂开路状态，一种情况，是与变压器的原边串联上一个可饱和电感器，在截止时电感器退出饱和区，进入大电感高阻区，电流不能突变，因此可以认为变压器原边开路。但是，可饱和电感器工作在饱和区，会产生发热现象，频率越高越严重，不大于 100kHz 以上的变换频率。在这里的本图与所介绍的是电感器的缓冲，为了充分发挥电感器的作用，增加了副边绕组，变成了反激式副变压器结构。为了不使 Q_1 、 Q_2 产生过电压，将变压器的原副边 1:3 匝数比，副边输出通过二极管，返回输入端。在完全能量传送之下，副边输出回到零位。

要想让本技术得到良好的实践效果，还不可忽略以下具体的技术问题与改善措施。从原理上， Q_1 、 Q_2 下降到 $1/2 V_{in}$ 时，变压器必须完全磁通复位，原边电流回零位，使 Q_1 、 Q_2 有更充分的 ZVS 化开通，如下分析：(1) 设计占空比减小，截止时间延长，但会使 Q_1 、 Q_2 的导通电流加大。(2) 锁位二极管 D_2 、 D_3 去掉，变压器原边反激电压提高，这样会加大 Q_1 、 Q_2 的电压应力，达到 1.5 倍 V_{in} 左右。(3) 本图中输出全波整流。正反激组合比正激式接法，效果更好的多。(4) 增加初级电感量，可使励磁电流减小，比如：选用优质高磁导率的变压器材料，以及变压器，只留很小气隙（完全没气隙，会使变压器容易磁饱和）减小磁能密度，即增加绕制匝数，但这样，又会使输出功率有所降低。(5) 综合因素考虑，予以优化设计。以上几点是笔者在实践制作中的一些经验与结果。

5 参数设计

(1) 谐振电路的特性阻抗

谐振电感 L_r 与谐振电容 C_r 的谐振角频率： $\omega_r = 1/\sqrt{L_r C_r}$ 。它们的谐振周期为： $T_r = 2\pi \sqrt{L_r C_r}$ ， Z_r 是谐振电感与谐振电容的特性阻抗 $Z_r = \sqrt{\frac{L_r}{C_r}}$ 。

谐振电感电流达到最大值 $I_{Lmax} = \frac{V_{in}}{Z_r}$ ，也是辅助开关管允许通过的最大电流，予以设计其参数值。

(2) 谐振电容

上述分析，可以知道，谐振电容的大小，决定主开关管关断时的电压上升率， dv/dt 越小，主开关管关断时电流与电压交叠区减小，关断损耗也就减小，如果进一步加大 C_r ，会加大 Q_3 辅助后的通态损耗。在工程设计中，一般使主开关管在最大负载下，关断时电压上升到 0.9 V_{in} 时的时间为 $3t_f$ ， t_f 为主开关管的关断时间， $C_r = \frac{I_0}{K} \cdot \frac{3t_f}{V_{in}} K$ 为 $W1$ 、 $W2$ （初次级匝数

比)。比如: 750W/24V/30A, $V_{in} = 280V$, 频率 $f = 100KHz$, 选用 PQ5050 型磁芯, t_f 为 $0.3\mu s$, $C_r \approx 0.03\mu F$, 实际可选用 $0.033\mu F/1000V$ 或 $1600V$ 电容。

(3) 谐振电感

为了不影响主电路的 PWM 工作, 一般使辅助电路的工作时间很小。根据谐振频率 $f = \frac{1}{2\pi\sqrt{LC}}$, 由于二极管 D 的作用,

产生半周期的振荡时间为 $1/2T_r = \pi\sqrt{L/C} = \frac{1}{N}TS$, 式中 N 取 7

或 8。根据上式, 可以得到谐振电感的大小: $L_r = \left(\frac{T_r}{N\pi}\right)^2 \cdot \frac{1}{C_r}$

(4) 缓冲电感器(副变压器)的选择

电流从零增加到 di 时后, 时间为 dt , $\epsilon = V_{in} = L \frac{di}{dt}$, 设计时, 应当考虑, di 值为峰值, 约为输入平均电流的 3 倍左右。 dt 为主开关的开通时间, 设 t_{on} 为 $0.3\mu s$, 比如: 750W/280V, 按 85% 效率, 平均电流为 $3.2A$, $L \approx 9\mu H$ 。实际选 $9\mu H \sim 15\mu H$ 左右。

可做缓冲电感器的反激式副变压器, 可将气隙加大到 $0.7mm \sim 1mm$ 左右。比如用 PQ32/30 磁芯, 有利于完全能量的传送, 确保电流回零位, 构成零电流开通条件, 也使瞬间 Q_1 与 Q_2 之间开路, 产生 ZVS 化(零电压)的谐振条件。

(5) 本电路二极管的选择

虽然, $D1 \sim D8$ 二极管通过电流不大, 象 $D6$ 、 $D7$ 、 $D8$ 电流更小, 由于高频开关, 存在二极管的反向恢复时间问题, 尽管采用超快恢复型, 二极管的动态压降并非一伏左右, 而是可达几十伏, 必须选择大电流管。从 $D1 \sim D8$ 一律选择 MUR1640 即 $16A/400V$ 。这里指输出 750W, $100KHz$ 的变换场合。

$D9$ 与 $D10$ 为输出整流二极管。同样, 在 $100KHz$ 以上工作频率时, MUR 为超快恢复二极管, 或是 24V 可采用 100V 肖特基

快速低压降管, 二极管的损耗占总损耗的 10% 以上, 如果频率继续提高, 损耗也随之增大, 使变换器的效率降低。比如: 用 MUR 管变换效率约为 80% 内, 而用 MBR 肖特基, 效率为 85% 内。但是, 如果采用近年来出现的同步整流器, 即 MOSFET 高速低内阻(R_{on})器用作整流, 不用二极管整流, 将使变换效率大大提高, 在设计 $200KHz$ 以上频率时, 仍然可以达到 90% 的变换效率。

6 综述

ZVT 双管软开关变换器的优点:

- (1) 采用一套辅助电路, 就可以实现两只主开关管的零电压开关;
- (2) 辅助电路的工作, 没有增加主开关的电压和电流应力;
- (3) 辅助开关管是零电流开关, 存在寄生电容的容性开通损耗, 但十分小;
- (4) 无需另加磁复位电路。从实践经验上看, 如果没有作缓冲电感器的副变压器结构, 容易出现磁饱和, 由此表明: 这一缓冲电感器又可以起到磁通复位的作用, 避免了磁饱和现象的产生;
- (5) 适用于中、大功率输入电压较高的应用场合;
- (6) 另有双管 ZCT(零电流过渡)变换电路, 更适用于有拖尾电流的双极型与 IGBT 器体, 这里, 不再介绍与讨论。

参考文献

- [1] 阮新波、严仰兆, 直流开关电源的软开关技术, 科学出版社, 2000 年 1 月第一版。
- [2] 张古松、蔡宣三, 开关电源的原理与设计, 电子工业出版社, 1999 年 2 月第一版。
- [3] 王英剑、常敏慧、何希才, 新型开关电源实用技术, 电子工业出版社, 1999 年 4 月第一版。